

# Diseño y despliegue de un clúster de bajo presupuesto para el desarrollo de las prácticas de PSD

Daniel Quiñones Sánchez  
Miguel Romero Martínez

Grado en Ingeniería de Computadores  
Facultad de Informática

---



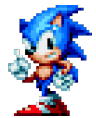
Universidad Complutense de Madrid

Curso Académico 2017/2018

Directores:

Alberto Núñez Covarrubias  
Luis Llana Díaz

# Agradecimientos



*A mi compañero y amigo Rome, por aguantarme en todo momento y realizar la mayor parte del trabajo.*

Daniel



*A mi compañero y amigo Daniel, por aguantarme en todo momento y realizar la mayor parte del trabajo.*

Miguel



Daniel && Miguel

# Índice general

Índice	I
Índice de figuras	V
Abstract	VII
<b>1. Introducción</b>	<b>1</b>
1.1. Una no tan breve introducción . . . . .	1
1.2. Motivación . . . . .	2
1.3. Estado del Arte . . . . .	2
<b>2. Arquitectura del Clúster</b>	<b>4</b>
2.1. Introducción . . . . .	4
2.2. Componentes . . . . .	4
2.3. Disposición de elementos . . . . .	4
2.4. Montaje . . . . .	4
2.5. Sistema centralizado . . . . .	4
2.6. Problemas . . . . .	4
2.6.1. Falta de energía . . . . .	4
<b>3. Configuración del clúster</b>	<b>5</b>
3.1. Introducción . . . . .	5
3.2. Virtualización del sistema . . . . .	5
3.3. Montaje de servidores . . . . .	6

3.4.	Dynamic Host Configuration Protocol (DHCP)	7
3.4.1.	Instalación de DHCP	8
3.5.	Network File System (NFS)	10
3.5.1.	Instalación de NFS	11
3.5.2.	Problemas de NFS	11
3.5.3.	Creación y lanzamiento de servidor NFS como un daemon del sistema	12
3.6.	Instalación de Omnet, Inet y SIMCAN	13
3.6.1.	Instalación de Omnet	13
3.6.2.	Instalación de Inet	14
3.6.3.	Instalación de SIMCAN	14
3.6.4.	Problemas	14
3.7.	Configuraciones derivadas de la arquitectura	15
3.7.1.	Modificación del GRUB	15
3.7.2.	Habilitar arranque automático de un usuario	16
3.7.3.	Forzar el arranque sin HDMI	16
3.8.	Seguridad	16
3.9.	Eliminar usuarios y permisos	16
<b>4.</b>	<b>Diseño de Prototipos</b>	<b>17</b>
4.1.	Introducción	17
4.2.	Características del modelado	17
4.3.	Modelo 1	18
4.3.1.	Resultado	19
4.4.	Modelo 2	20
4.4.1.	Resultado	21
4.5.	Modelo 2b	22

4.6. Modelo 3 . . . . .	23
4.6.1. Modelado 3D . . . . .	23
4.6.2. Resultado . . . . .	24
<b>5. Tests de Diseño</b>	<b>25</b>
5.1. Introducción . . . . .	25
5.2. Experimental Settings . . . . .	25
5.3. Prueba 1 . . . . .	26
5.3.1. Escenario . . . . .	26
5.3.2. Resultados . . . . .	26
5.3.3. Conclusiones . . . . .	27
5.4. Prueba 2 . . . . .	28
5.4.1. Escenario . . . . .	28
5.4.2. Resultados . . . . .	28
5.4.3. Conclusiones . . . . .	29
5.5. Prueba 3 . . . . .	30
5.5.1. Escenario . . . . .	30
5.5.2. Resultados . . . . .	30
5.5.3. Conclusiones . . . . .	31
5.6. Prueba 4 . . . . .	32
5.6.1. Escenario . . . . .	32
5.6.2. Resultados . . . . .	32
5.6.3. Conclusiones . . . . .	32
5.7. Conclusiones generales . . . . .	33
<b>6. Empty</b>	<b>36</b>
6.1. Introducción . . . . .	36



# Índice de figuras

3.1. Sistema de archivos . . . . .	6
3.2. Esquema . . . . .	7
3.3. Servidor DHCP . . . . .	8
4.1. Modelo 1 3D . . . . .	18
4.2. Resultado Modelo 1 . . . . .	19
4.3. Modelo 2 3D . . . . .	20
4.4. Resultado Modelo 2 . . . . .	21
4.5. Modelo 2b 3D . . . . .	22
4.6. Modelo Modelo 3 3D . . . . .	23
4.7. Resultado Modelo 3 . . . . .	24
5.1. Prueba 1, Modelo 1 . . . . .	26
5.2. Prueba 1, Modelo 2 . . . . .	27
5.3. Prueba 1, Modelo 2b . . . . .	27
5.4. Prueba 1, Modelo 3 . . . . .	27
5.5. Prueba 2, Modelo 1 . . . . .	28
5.6. Prueba 2, Modelo 2 . . . . .	28
5.7. Prueba 2, Modelo 2b . . . . .	29
5.8. Prueba 2, Modelo 3 . . . . .	29
5.9. Prueba 3, Modelo 1 . . . . .	30
5.10. Prueba 3, Modelo 2 . . . . .	30
5.11. Prueba 3, Modelo 2b . . . . .	31

5.12. Prueba 3, Modelo 3 . . . . .	31
5.13. Prueba 4, Prueba de estrés . . . . .	32



# Abstract

*¡Tranquilos, es sólo un nombre! Como la Zona de la Muerte o la Zona sin Retorno. Esos nombres son normales en la Galaxia del Terror.*

Profesor Hubert Farnsworth

The main objective of this work is the development of a low budget computing cluster. For this we have made use of the so-called Raspberry Pi reduced-board computers, as processing nodes on a Debian Jessie Linux distribution.

We set out the following specific objectives: design of the container, distribution of each of the elements within it, study of the temperatures and behavior of the hardware under stress situations, deployment and development of the system software, performance study of the same, generation of installation guides and specific aspects of system configuration, development of a task planner for the distribution of work between the nodes and development of software to send and receive jobs to the cluster.

Throughout the document, each of the previous points will be developed. This work is intended to complement the laboratory practices that are carried out in the subject of Distributed Systems Programming (PSD) in the Computing Faculty of the Complutense University of Madrid.

At the end of the project, the cluster will allow to students the possibility of performing some of the computation tasks on it, will also serve as an example of a real distributed system, with which to strengthen the knowledge of the subject.

# Capítulo 1

## Introducción

*However difficult life may seem, there is always  
something you can do, and succeed at. It matters  
that you don't just give up.*

Stephen William Hawking

### 1.1. Una no tan breve introducción

El objetivo principal de este trabajo es el desarrollo de un clúster de cómputo de bajo presupuesto. Para ello hemos hecho uso de los denominados computadores de placa reducida, **Raspberry Pi**, como nodos de procesamiento sobre una distribución de linux *Debian Jessie*. Nos planteamos los siguientes objetivos específicos: diseño del contenedor, distribución de cada uno de los elementos dentro de éste, estudio de las temperaturas y comportamiento del Hardware bajo situaciones de estrés, despliegue y desarrollo del software del sistema, estudio de rendimiento del mismo, generación de guías de instalación y aspectos específicos de configuración del sistema, desarrollo de un planificador de tareas para la distribución de trabajos entre los nodos y desarrollo de un software para realizar el envío y recepción de trabajos al clúster.

A lo largo del documento se irán desarrollando cada uno de los puntos anteriores.

Este trabajo está destinado a complementar las prácticas de laboratorio que se realizan en la asignatura de *Programación de Sistemas Distribuidos* (PSD) en la *Facultad de Informática*

en la **Universidad Complutense de Madrid**, al finalizar el proyecto, el cluster, permitirá a los alumnos la posibilidad de realizar algunas de las tareas de cómputo sobre él, servirá además como ejemplo de un sistema distribuido real, con el que poder afianzar los conocimientos de la asignatura.

## 1.2. Motivación

En los últimos años se ha incrementado ese tipo de proyectos por parte de distintas universidades y proyectos de particulares. Principalmente estos se han centrado en aumentar el número de dispositivos en cada proyecto, pero no existe un estudio de comportamiento real de uno de ellos, así como una guía que establezca los pasos a seguir, nuestro propósito ha sido el de reflejar todos los aspectos del desarrollo de uno de estos clusters, centrándonos particularmente en la correcta disposición y distribución de los componentes para mejorar aspectos como la accesibilidad, la correcta refrigeración de los nodos y la mejora del rendimiento en ellos.

## 1.3. Estado del Arte

Existen multitud de proyectos de este tipo, destacaremos los mas interesantes:

- **VMW Research Group Raspberry Pi Cluster**, dispone de un clúster de 24 nodos realizado con raspberry Pi 2 con una interfaz de pantalla táctil y dos adaptadores de Ethernet que controlan la fuente de alimentación , sirve DHCP, NFS.
- **Universidad de Southampton**, investigadores de esta universidad han construido una supercomputadora de Raspberry Pi unidas con Lego. El profesor Simon Cox y su equipo construyeron la supercomputadora de 64 procesadores y 1 TB de memoria. Tiene un coste aproximado de 3100 euros.

- **David Guill**, en su web Like Magic Appears ofrece una guía de construcción de un clúster de 40 nodos y dispone de material audiovisual como guía.

# Capítulo 2

## Arquitectura del Clúster

*Tenemos que fabricar máquinas que nos  
permitan seguir fabricando máquinas, porque lo  
que no va a hacer nunca la máquina es fabricar  
máquinas*

M.Rajoy

### 2.1. Introducción

### 2.2. Componentes

### 2.3. Disposición de elementos

### 2.4. Montaje

### 2.5. Sistema centralizado

### 2.6. Problemas

#### 2.6.1. Falta de energía

# Capítulo 3

## Configuración del clúster

*'long long long' is too long for GCC*

Some GCC programmer

### 3.1. Introducción

Al lo largo de este capítulo se determinarán cuales son los pasos necesarios para la correcta configuración del sistema. En cada apartado se especifican los pasos a seguir para la configuración e instalación de los distintos servidores y software necesarios.

### 3.2. Virtualización del sistema

Debido al volumen del material necesario para el desarrollo del proyecto, la necesidad de realizar el montaje y desmontaje de forma manual de éste y la dificultad en el acceso y configuración de cada uno de los nodos que lo componen decidimos invertir tiempo en realizar una virtualización del sistema para minimizar los problemas antes descritos. Así, al disponer de un entorno virtual, que replica el clúster real, se minimiza el tiempo necesario para la configuración de los distintos servicios y servidores del sistema operativo y sirve como banco de pruebas para el desarrollo software.

Para ello hemos utilizamos *VMware workstation 12* como plataforma de software de virtualización y una **ISO** de Raspbian basada en *Debian Stretch* disponible en la página oficial

de Raspberry Pi. Aunque el sistema del clúster parte de una versión diferente de *debian* el sistema de carpetas y sobre todo la instalación de **SIMCAN** es similar al del entorno real. En el repositorio en *Github* existe una réplica del sistema de carpetas tanto para el servidor como para los nodos esclavo. Cada una de las carpetas y ficheros modificados en el sistema durante la configuración del sistema quedan reflejados en el repositorio, disponiendo así de un listado en forma de árbol de todas las configuraciones necesarias para el correcto funcionamiento de este.

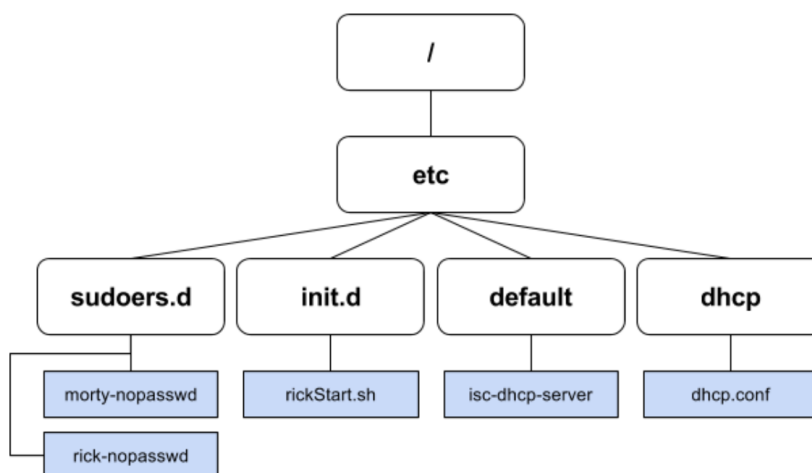


Figura 3.1: Sistema de archivos del repositorio

### 3.3. Montaje de servidores

El clúster está dividido en dos partes bien diferenciadas, por un lado, el *front-end*, donde se dispone de un único servidor, el cual es el único nodo del clúster que tiene instalado el software de **SIMCAN** además de ofrecer los servicios de **NFS**, **DHCP** y **SSH** entre otros como muestra la figura 3.2. Éste además es el punto de comunicación con el exterior, al disponer de una tarjeta de red adicional.

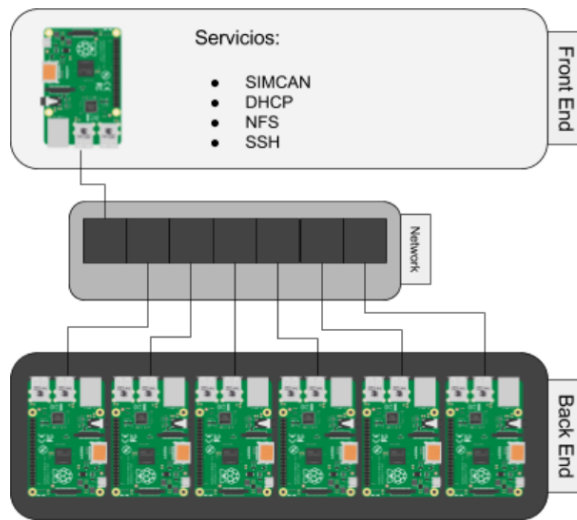


Figura 3.2: Esquema del sistema

Por otro lado, en el *back-end*, disponemos de varios nodos esclavo que disponen únicamente del sistema Debian Jessie y unas pocas librerías necesarias para realizar las operaciones de computo.

### 3.4. Dynamic Host Configuration Protocol (DHCP)

La red en la que trabajamos es la  $172.16.111.0/24$ . El nodo maestro tiene configurada la dirección  $172.16.111.1/24$ , y ejerce de servidor sobre el resto de clientes, encargándose del reparto de direcciones, como se muestra en la figura 3.3.



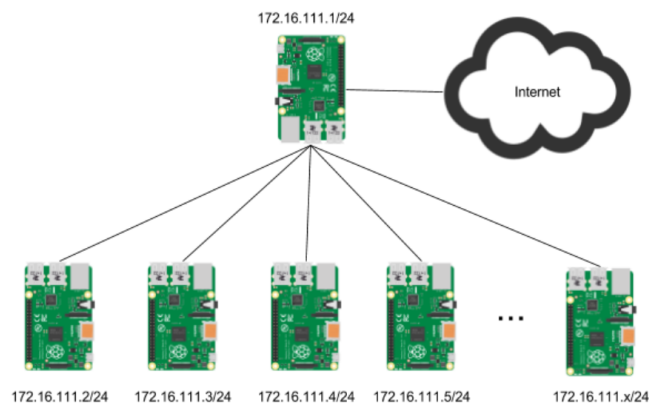


Figura 3.3: Servidor DHCP

Gracias al montaje del **DHCP** evitamos tener que asignar manualmente direcciones a todos los nodos, sin embargo, es más útil en la práctica que cada uno de los nodos disponga de la misma dirección el máximo tiempo posible.

Para ello, en el fichero `/etc/dhcp/dhcpd.conf`, hemos establecido el parámetro **default-lease-time** que determina el tiempo de concesión de que el servidor asigna a cada nodo en su máximo valor. El tiempo por defecto (7776000 expresado en segundos) será de noventa días.

```
...  
default-lease-time 7776000;  
...
```

Los servicios ofrecidos por el nodo maestro de cara al *front-end* están disponibles a través de su segunda tarjeta de red, configurada para obtener una dirección IP desde un **ISP**.

### 3.4.1. Instalación de DHCP

Instalación de paquetes en el servidor

```
1 sudo apt-get update  
2 sudo apt-get install isc-dhcp-server
```

---

Editar fichero **/etc/default/isc-dhcp-server**

```
3 sudo nano /etc/default/isc-dhcp-server
4 INTERFACES = eth0
```

Editar fichero **/etc/network/interfaces**

```
5 nano /etc/network/interfaces
6 source-directory /etc/network/interfaces.d

auto eth0
iface eth0 inet static
address 172.16.111.106
netmask 255.255.255.0
network 192.168.100.0
gateway 172.16.111.105

allow-hotplug wlan0
iface wlan0 inet manual
    wpa-conf /etc/wpa_supplicant/wpa_supplicant.conf

allow-hotplug wlan1
iface wlan1 inet manual
    wpa-conf /etc/wpa_supplicant/wpa_supplicant.conf
```

Editar fichero de configuración **/etc/dhcp/dhcpd.conf**

Incluir la siguiente configuración al final del fichero:

```
subnet 172.16.111.0 netmask 255.255.255.0{
    range 172.16.111.106 172.16.111.255;
    option domain-name-servers 8.8.8.8, 4.4.4.4;
    option routers 172.16.111.105;
}
host Rick{
    hardware ethernet <dir MAC del servidor>
    fixed-address 172.16.111.110;
}
```

Activación de la red eth0 y reinicio

```
7 sudo ifconfig eth0 up
8 sudo reboot now
```

Arranque del servicio DHCP

```
9 sudo /usr/sbin/dhcpd
```

Comprobación del correcto funcionamiento del sistema

```
10 ps -ef | grep dhcpd
```

Opcionalmente se pueden mostrar las máquinas conectadas al servicio mediante la orden

```
11 cat /var/lib/dhcp/dhcp.leases
```

### 3.5. Network File System (NFS)

Como se destacaba anteriormente, el nodo servidor es el único que dispone de una versión de **SIMCAN** instalada, esta configuración ofrece la posibilidad de que la labor de los nodos esclavo sea únicamente la de realizar el procesamiento de datos. Mediante **NFS**, el nodo servidor comparte su carpeta home durante el arranque del sistema, de esta forma, el resto de nodos esclavo realizan el montaje de este home compartido en red en su propio directorio home, creando así un único punto de acceso compartido en red del que se pueden extraer los ejecutables sin la necesidad de disponer de **SIMCAN** instalado. El maestro se encarga de realizar la compilación de los ficheros *.ned* y pone a disposición del resto de nodos los ejecutables.

Es necesario que todos los nodos de la red tengan un mismo usuario común para conseguir una correcta sincronización, de igual manera hay que mantener un estricto control de los permisos de cada uno de los nodos esclavo tanto a nivel interno como de cara al servidor.

### 3.5.1. Instalación de NFS

Instalar paquetes en el servidor

```
1 sudo apt-get update
2 sudo apt-get install nfs-kernel-server
```

Editar fichero de configuración **/etc/exports** en servidor

Incluir al final del fichero el directorio a compartir:  
Ruta de carpeta  
Dirección IP de máquina destino / permisos  
  
Ejemplo: /home/morty 172.16.111.0/24(rw,no\_subtree\_check)

Instalación de paquetes en el cliente

```
Instalados por defecto en raspBian
3 sudo apt-get update
4 sudo apt-get install build-essential gcc g++ bison flex perl tcl-dev tk-
  dev libxml2-dev zlib1g-dev default-jre doxygen graphviz libwebkitgtk-1.0-0
  openmpi-bin libopenmpi-dev libpcap-dev
```

Ejecutar cambios realizados en el servidor

```
5 sudo exportfs -a
6 sudo mount 172.16.111.x:/home/morty /home/morty
  172.16.111.x es la dirección ip de servidor
```

Reiniciar servicios

```
7 sudo /etc/init.d/rpcbind restart
8 sudo /etc/init.d/nfs-kernel-server restart
```

### 3.5.2. Problemas de NFS

Es necesaria una configuración extra para el funcionamiento de NFS, es necesario modificar los permisos de la maquina cliente:

1. El usuario de la máquina ha de ser sudoer. La carpeta compartida debe tener permisos de lectura, escritura y ejecución (**LWX**):

```
chmod -R 0777 escenario
```

### 3.5.3. Creación y lanzamiento de servidor NFS como un daemon del sistema

A fin de evitar tener que realizar el arranque del servidor de forma manual es recomendable crear un daemon he incluirlo en el directorio `/etc/init.d` para que se ejecute al arranque del sistema de forma automática.

Contenido del script:

```
#!/bin/bash
### BEGIN INIT INFO
# Provides: M.Romero && D.Quinones
# Required-start: $syslog
# Required-stop: $syslog
# Default-Start: 2 3 4 5
# Default-Stop: 0 1 6
# Short-Description: Inicialización de servicios nfs
# Description:
### END INIT INFO

sudo exportfs -a
sudo /etc/init.d/rpcbind restart
sudo /etc/init.d/nfs-kernel-server restart

# El orden de estos últimos comandos es esencial
```

El siguiente cuadro muestra los pasos a seguir para lanzar el script como un daemon del sistema:

```
10  chmod +x nombre_del_script.sh
11  cp nombre_del_script.sh /etc/init.d/
12  cd /etc/init.d
13  update-rc.d nombre_del_script.sh defaults
```

## 3.6. Instalación de Omnet, Inet y SIMCAN

Antes de poder instalar el software **SIMCAN** es necesario realizar la instalación previa del simulador modular de eventos discretos de redes **Omnet** en su versión 4.6. Además de la suite **Inet**, que implementa modelos de código abierto **Omnet** para redes cableadas, inalámbricas y móviles.

Debido a la baja potencia de la Raspberry, ésta no es capaz de lanzar la aplicación de forma gráfica, esto supone un problema a la hora de realizar la instalación del software. Es por esto que todas las instalaciones han de realizarse de forma manual a través del terminal. Esto afecta principalmente a la instalación de **Inet**, ya que las principales guías de instalación disponibles en las webs oficiales parten siempre del entorno gráfico de **Omnet**.

Durante el desarrollo del proyecto se han desarrollado una serie de guías paso a paso para la instalación y configuración que se desglosarán en el siguiente apartado.

### 3.6.1. Instalación de Omnet

Descargar los *tar.gz* de Omnet 4.6, Inet, simcan.tar. Esta última (simcan) incluye las bibliotecas que se necesitan para la compilación. Copiar los archivos *.tar* de Omnet e Inet en **/pi** y descomprimir.

Desde el directorio **/pi** ejecuta los siguientes comandos:

```
1 sudo apt-get update
2 sudo apt-get install build-essential gcc g++ bison flex perl tcl-dev tk-
  dev libxml2-dev zlib1g-dev default-jre doxygen graphviz libwebkitgtk-1.0-0
  openmpi-bin libopenmpi-dev libpcap-dev
3 sudo apt-get install gnome-color-chooser
4 cd omnetpp-4.6
5 . setenv
6 ./configure
7 make
* Opcionalmente podemos utilizar el comando make -j 'numero de cores'
  para paralelizar el compilado del proyecto
```

### 3.6.2. Instalación de Inet

Crear un directorio nuevo en `/omnet-4.6` llamado *proyect*, copiar en el directorio **Inet** descomprimido y ejecutar:

```
8 sudo apt-get install libavcodec-dev libavformat-dev
9 make makefiles
10 make
* Opcionalmente podemos utilizar el comando make -j 'numero de cores'
para paralelizar el compilado del proyecto
```

### 3.6.3. Instalación de SIMCAN

Copia el directorio de **simcan** a `/projects` y ejecuta los siguientes comandos:

```
11 export omnetpp_root=$HOME/morty/omnetpp-4.6
12 export INET_HOME=$omnetpp_root/projects/inet
13 export SIMCAN_HOME=$omnetpp_root/projects/simcan
14 export LD_LIBRARY_PATH=$omnetpp_root/lib:$LD_LIBRARY_PATH
15 export PATH=$omnetpp_root/bin:$PATH
16 make makefiles
17 make
* Opcionalmente podemos utilizar el comando make -j 'numero de cores'
para paralelizar el compilado del proyecto
Enjoy!
```

### 3.6.4. Problemas

1. No se encuentra el fichero **TCPCommand\_m.h**

```
cp /home/pi/omnetpp-4.6/projects/inet/src/transport/contract/
TCPCommand_m.h /home/pi/omnetpp-4.6/projects/simcan/src/Messages/
TCPCommand_m.h
```

2. Error al ejecutar **run\_simcan**





### 3.7.2. Habilitar arranque automático de un usuario

Para modificar el usuario de arranque por defecto es necesario realizar los siguientes cambios en el fichero **/etc/lightdm/lightdm.conf**

```
autologin-user = nombre_de_usuario
```

### 3.7.3. Forzar el arranque sin HDMI

En ocasiones *Raspbian Jessie* no realiza la carga del sistema operativo si el conector **HDMI** no está acoplado en la Raspberry, para forzar el arranque del sistema es necesario modificar el archivo **/boot/config.txt**

```
#Arranque sin HDMI  
hdi_force_hotplug = 1
```

## 3.8. Seguridad

Por defecto, en las distribuciones de *Debian Jessie* existentes en los repositorios oficiales de raspberrypi.org existe... Vienen configurados usuarios por defecto Root no tiene contraseña Hay que eliminar a pi como superuser Sólo dejar morty como superuser en maestro pero no en esclavos

## 3.9. Eliminar usuarios y permisos

UID, todos han de tener el mismo, permisos en maestro, esclavo Inicialización del sistema mediante scripts

# Capítulo 4

## Diseño de Prototipos

*La cosa está muy mal... estoy friendo los huevos  
con saliva*

Gregorio Esteban Sánchez

### 4.1. Introducción

En este capítulo se muestra el diseño de los distintos modelos que se han generado para el proyecto. Se dispone, para cada uno, una vista en 3D, creada con *OpenScad*, que representa la disposición de los distintos componentes y la dirección de las corrientes de aire generadas por los ventiladores, finalmente, se incluyen capturas del resultado de cada uno de ellos.

### 4.2. Características del modelado

Los componentes representados en el modelo en 3D son: el switch de ocho puertos ([Azul](#)), un clúster de Raspberrys formado por siete nodos ([Verde](#)), la base de enchufes ([Rojo](#)) y los ventiladores ([Gris](#)), no se incluyen los cables y conectores conectados a la base y a cada Raspberry.

En cuanto a la disposición de los ventiladores, para cada uno de los modelos, se han realizado diferentes configuraciones, todas ellas destinadas a obtener la corriente de aire más eficiente y la mejor tasa de temperatura cuando los nodos están trabajando a máximo rendimiento.

Los resultados de estas se muestran en el capítulo 5, en donde se verá el comportamiento de cada una con una serie de pruebas destinadas a medir la temperatura ante distintos escenarios.

### 4.3. Modelo 1

En este modelo la distribución de aire se hace con los ventiladores opuestos entre sí, creando una corriente de aire alrededor del rack de Raspberrys que se encuentra frente a ellos.

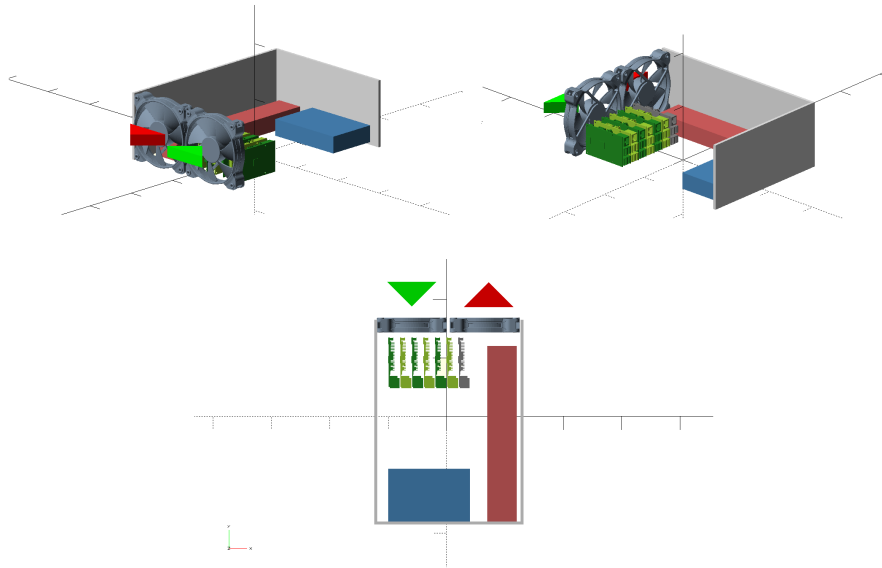


Figura 4.1: Modelo 1 3D

La figura 4.1 muestra la vista trasera, delantera y alzada del modelo. La prioridad es obtener una buena distribución de aire, no se ha tenido en cuenta la facilidad para acceder a los componentes. Para poder acceder a las tarjetas **SD** de cada Raspberry es necesario mover todo el rack, lo que hace que sea complicado, una solución alternativa sería ofrecer la opción de desacoplar uno de los ventiladores para facilitar el acceso.

### 4.3.1. Resultado

Este modelo tiene un tamaño de 122x123x35 cm y en la captura no se han incluido los cables rj45 que conectan el rack de Raspberrys con el switch. Podemos observar que los componentes disponen de un espacio muy limitado y que la poca flexibilidad de los cables dificulta el cierre del contenedor.



Figura 4.2: Resultado Modelo 1

Las figura 4.2 muestra el resultado del diseño descrito en el apartado anterior, se puede observar la distribución de los componentes dentro del contenedor y el cierre del que dispone.

## 4.4. Modelo 2

Para resolver los problemas de accesibilidad al rack este modelo dispone de una apertura lateral que expone las tarjetas **SD** de cada Raspberry, con lo que no es necesario abrir el contenedor para extraer cada tarjeta. Además el contenedor está dividido en dos piezas, una que se acopla sobre la otra para formar un cubo, esto facilita la apertura y acceso al mismo.

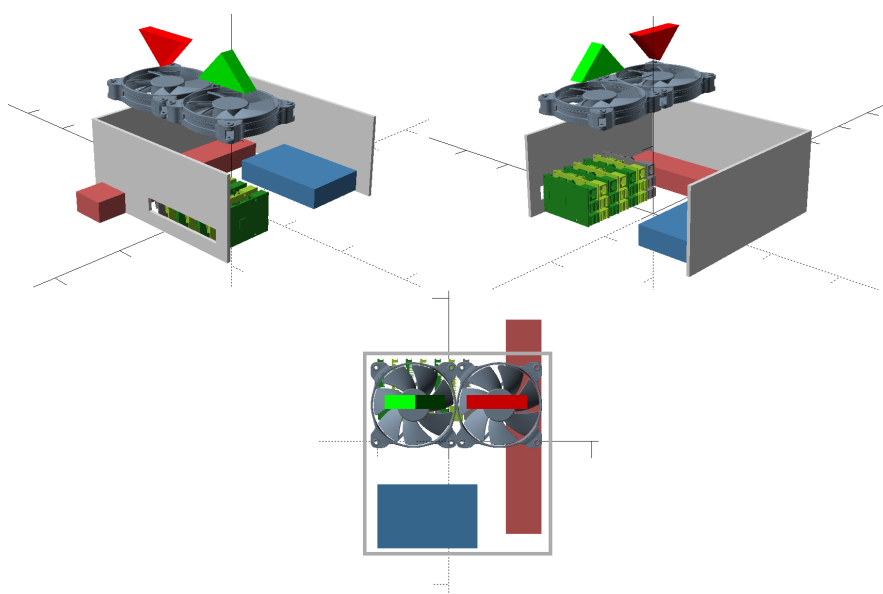


Figura 4.3: Modelo 2 3D

Como se muestra en la figura 4.3 la ventilación se realiza desde la parte superior, creando, como en el caso anterior, una corriente de aire debida al emplazamiento de cada ventilador. Se puede observar, en la vista frontal, la apertura centrada sobre el rack de Raspberrys. Este modelo es más compacto que el anterior, parte de la base de enchufes queda en el exterior. Sin embargo, existe un mayor espacio entre los ventiladores y el rack. La disposición de los cables de alimentación del rack es mejor que la del modelo 1, junto con el acceso lateral, prácticamente no es necesario manipular ninguno de los componentes.

#### 4.4.1. Resultado

Este modelo tiene un tamaño de 122x123x35 cm, en la figura 4.4 se puede observar el sistema de acople en dos piezas que abren el contenedor. Como se ha comentado anteriormente, parte de la base de enchufes queda en el exterior, esto supone una mejora ya que permite el encendido y apagado del clúster sin que sea necesario abrir todo el contenedor para ello.



Figura 4.4: Resultado Modelo 2

Como resultado de todas estas mejoras tenemos un modelo que es mucho mas manejable que el anterior, de tamaño más reducido y con mejoras estructurales que facilitan la manipulación.

## 4.5. Modelo 2b

El modelo 2b presenta unas modificaciones estructurales internas, tras hacer un estudio previo sobre corrientes de aire decidimos realizar algunas modificaciones sobre éste para conseguir mejorar la eficiencia del flujo de aire dentro del contenedor.

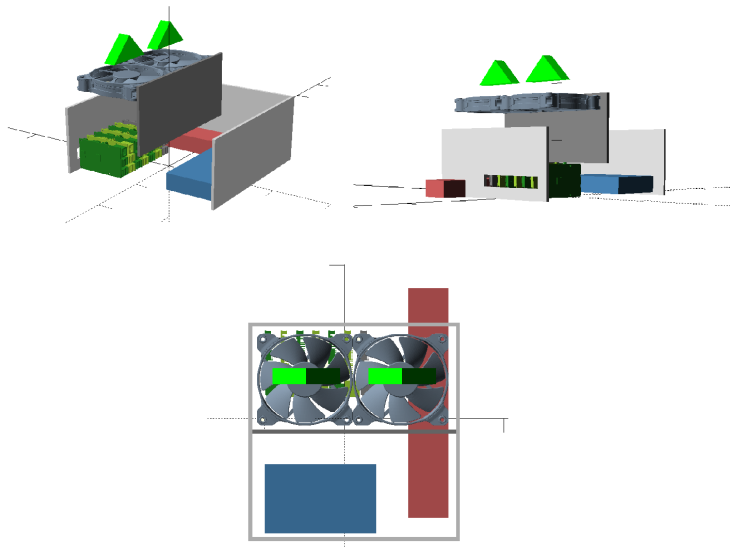


Figura 4.5: Modelo 2b 3D

Para esto, se incluye una nueva pared interior, distribuyendo el contenedor en *dos cámaras*, una que contiene el rack de Raspberrys y otra con el switch. La corriente de aire se concentra en la primera cámara, con esto generamos un flujo que entra en el contenedor a través de la entrada lateral, en la que están expuestas las Raspberrys, pasando por cada uno de los procesadores y saliendo por la parte superior en la que ambos ventiladores expulsan el aire. La figura 4.5, similar a la del modelo 2, muestra la separación en cámaras y distribución de los ventiladores. Como se puede comprobar en el capítulo 5 esta modificación ofrece unos resultados completamente distintos en cuanto a las temperaturas del contenedor.

## 4.6. Modelo 3

Hemos diseñado el modelo 3 utilizando la arquitectura de *túnel de viento*, éste consiste en suministrar una corriente de aire de entrada sobre las partes que más tienden a calentarse, en este caso, el rack de Raspberrys, aplicando una corriente de succión con un ventilador de salida, creando un flujo de aire horizontal.

### 4.6.1. Modelado 3D

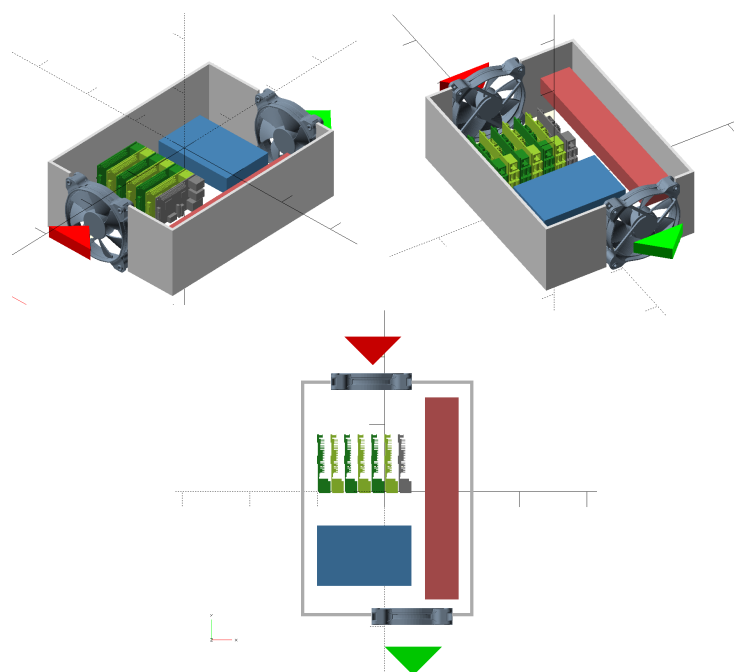


Figura 4.6: Modelo 3 3D

Debido a las altas temperaturas presentadas por el modelo 1 decidimos aplicar una corriente de aire directa sobre las Raspberrys y sacarla del sistema para evitar bucles de aire calientes a través del segundo ventilador que está situado al lado del switch como se muestra en la figura 4.6

Tras una serie de pruebas y mediciones de temperatura con la disposición de los ventiladores,



entrada-salida, entrada-entrada y salida-salida, llegamos a la conclusión que la más eficiente era la primera de ellas.

#### 4.6.2. Resultado

Tras el desarrollo de los modelos anteriores, hemos creado un híbrido entre el modelo 1 y 2B, del primero aprovechamos su base y el ventilador del que ya disponíamos, del segundo, hemos decidido que en vez de aplicar la corriente de succión en la parte de arriba, le otorgaremos un flujo de aire que recorre todo el contenedor a través del túnel de viento ya mencionado. Mientras los anteriores modelos se centraban en las Raspberrys, este proporciona una corriente tanto al Switch como al rack.



Figura 4.7: Resultado Modelo 3

El T-800 de la figura 4.7 no está incluido en el pack, presentó demasiadas complicaciones a nivel de diseño y entraba continuamente en conflicto debido a las tres leyes de la robótica.

# Capítulo 5

## Tests de Diseño

*Tendrá todo el dinero del mundo, pero hay algo  
que nunca podrá comprar... un dinosaurio.*

Homer J. Simpson

### 5.1. Introducción

El objetivo de este capítulo es el de mostrar el resultado de las pruebas de temperaturas realizadas en los diferentes modelos diseñados en el capítulo 4.

### 5.2. Experimental Settings

Se ha sometido a estos a un total de tres pruebas, todas ellas con las mismas características para cada modelo, variando en el número de nodos que hay trabajando de forma simultánea en cada caso. De esta manera, según los resultados obtenidos y las características de diseño generadas en el capítulo 4 determinamos qué modelo es el más idóneo para la elección final. Además de las pruebas generales, se han realizado una serie de pruebas específicas para cada modelo, el objetivo de estas, ha sido el de determinar la mejor configuración en cuanto a la disposición de los ventiladores dentro del contenedor. En este capítulo, únicamente se muestran las pruebas realizadas a los modelos finales.

Para el desarrollo de cada prueba se ha generado un script que obtiene información de la temperatura del procesador ofrecida directamente por el sistema operativo. El siguiente cuadro muestra el contenido del script:

```
#!/bin/bash
while test 0 -eq 0
do
    sleep $1
    temp=$(/opt/vc/bin/vcgencmd measure_temp | cut -c 6-9)
    time=$(date +"%x" ) #dd/mm/yyyy
    echo "$temp"
done
exit 0
```

## 5.3. Prueba 1

### 5.3.1. Escenario

En esta prueba únicamente hay una Raspberry Pi trabajando con cuatro cores, el tiempo total de cada prueba es de tres horas, el periodo de muestreo es de diez segundos y en las gráficas se muestra el tiempo total expresado en segundos. La temperatura ambiente oscila entre los catorce y dieciocho grados. Ninguna de las raspberrys utilizadas dispone de un disipador instalado sobre el procesador.

### 5.3.2. Resultados

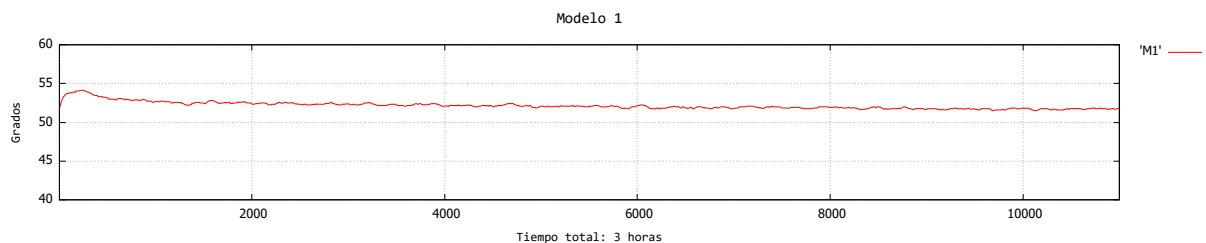


Figura 5.1: Modelo 1

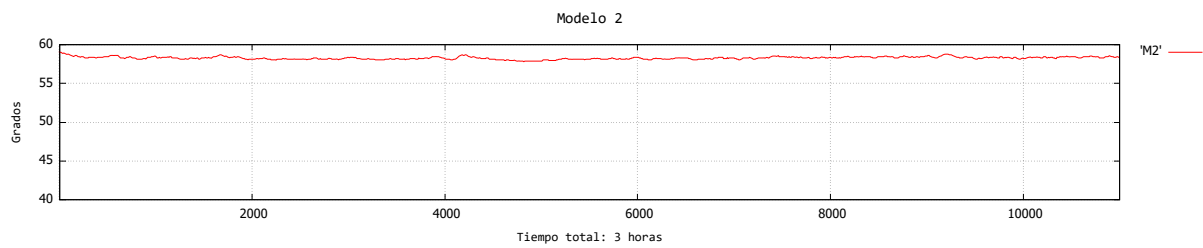


Figura 5.2: Modelo 2

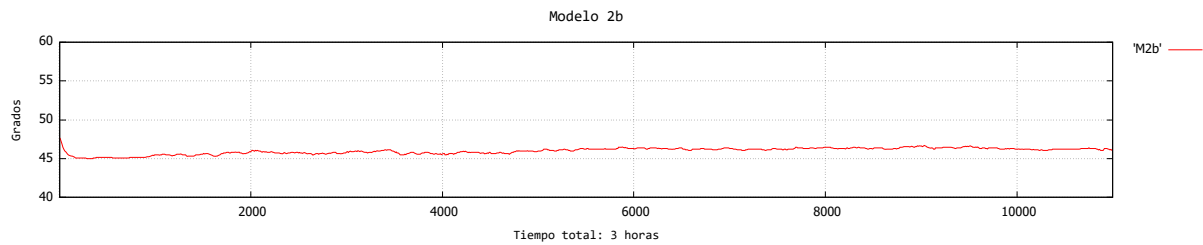


Figura 5.3: Modelo 2b

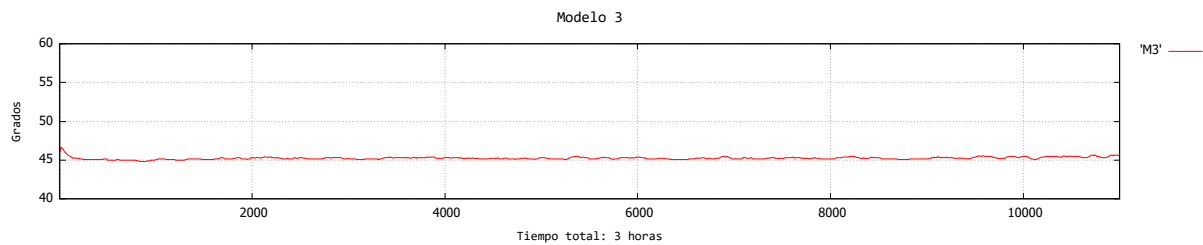


Figura 5.4: Modelo 3

### 5.3.3. Conclusiones

Se puede comprobar que tanto el modelo 2b como el modelo 3 son los que obtienen unos mejores resultados, en todo caso, en todos ellos, el sistema se mantiene estable durante toda la prueba, con muy poca variación entre sus temperaturas máxima y mínima. El modelo 2 registra unos valores cercanos a los sesenta grados, con lo que es sin duda el peor de los tres.

## 5.4. Prueba 2

### 5.4.1. Escenario

En esta prueba hay tres Rasperrys trabajando de forma simultánea, cada una de ellas mantiene sus cuatro cores trabajando a máximo rendimiento, el tiempo total de las pruebas es nuevamente de tres horas, igual que en la prueba anterior el periodo de muestreo es de diez segundos y en cada gráfica muestra el tiempo total expresado en segundos. La temperatura ambiente, en este caso, oscila entre los quince y dieciocho grados. Una de las Rasperrys dispone de un disipador de calor, en las gráficas, esta se identifica con la letra D al lado de su nombre.

### 5.4.2. Resultados

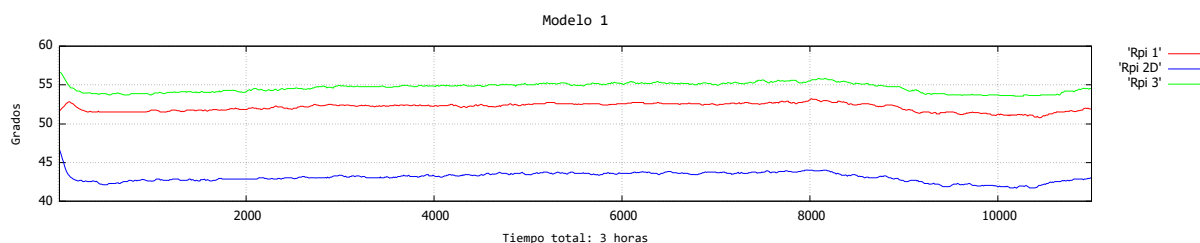


Figura 5.5: Modelo 1

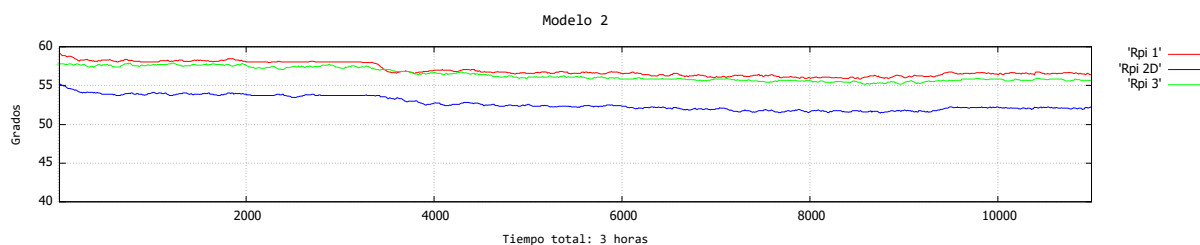


Figura 5.6: Modelo 2

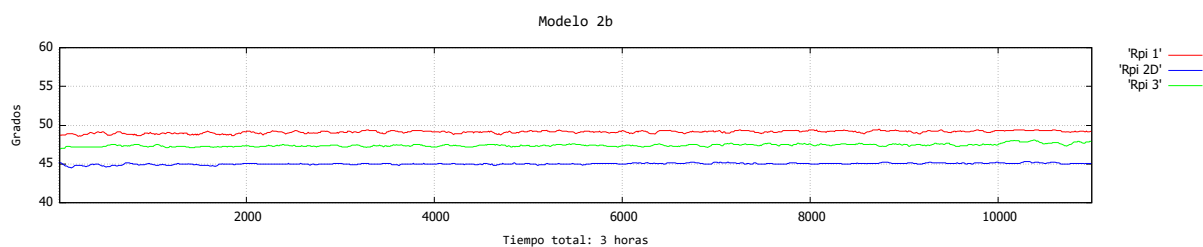


Figura 5.7: Modelo 2b

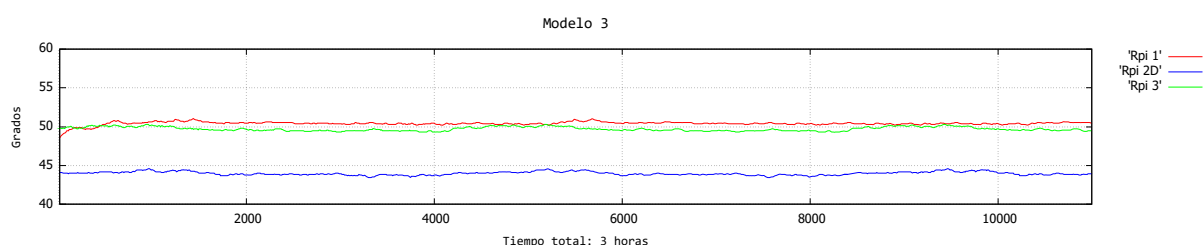


Figura 5.8: Modelo 3

### 5.4.3. Conclusiones

Hemos comprobado que una buena corriente de aire hace que aquellos nodos que disponen de un disipador de calor instalado presenten unas temperaturas notablemente inferiores al resto. Sin embargo, como pasa en el modelo 2, figura 5.6, si la corriente no es eficiente, dicha mejora se ve severamente afectada.

De nuevo, los modelos 2b y 3, ofrecen unos resultados mejores, además se mantienen más estables durante toda la prueba. El modelo 1, figura 5.5, es en el que más variación de temperatura se observa entre Raspberrys con y sin disipadores. Nuevamente el modelo 2 tiene unas temperaturas superiores, cercanas a los sesenta grados. Vemos además que el hecho de incluir más nodos de cómputo no afecta a las temperaturas medias de cada uno, ofreciendo resultados similares a los de la primera prueba.

## 5.5. Prueba 3

### 5.5.1. Escenario

Finalmente en esta última prueba hay seis Raspberrys trabajando de forma simultánea, como en los casos anteriores, cada una de ellas mantiene sus cuatro cores trabajando en paralelo, el tiempo total de las pruebas es nuevamente de tres horas y el muestreo se realiza cada diez segundos. La temperatura ambiente oscila entre los dieciséis y diecisiete grados. Para esta prueba existen dos Raspberrys que disponen de disipadores de calor, identificadas nuevamente con la letra D en la gráfica.

### 5.5.2. Resultados

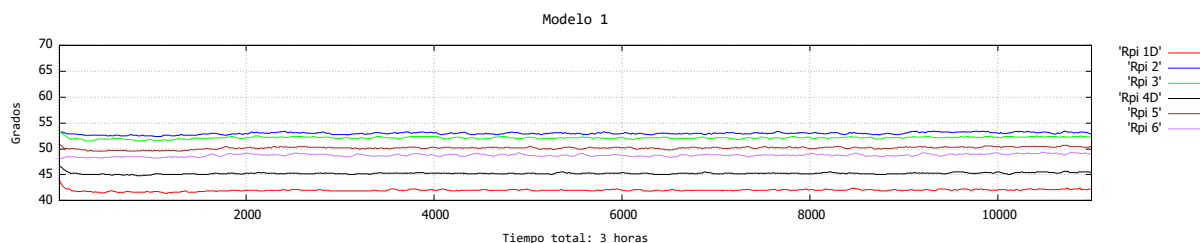


Figura 5.9: Modelo 1

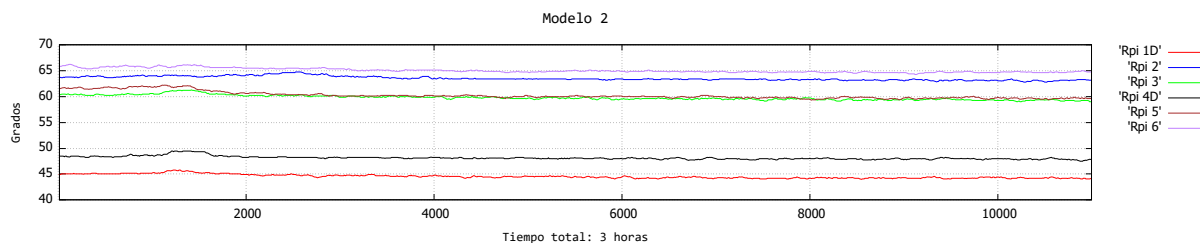


Figura 5.10: Modelo 2

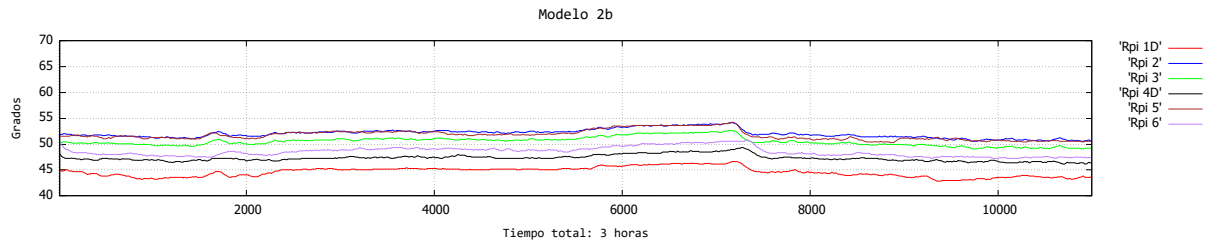


Figura 5.11: Modelo 2b

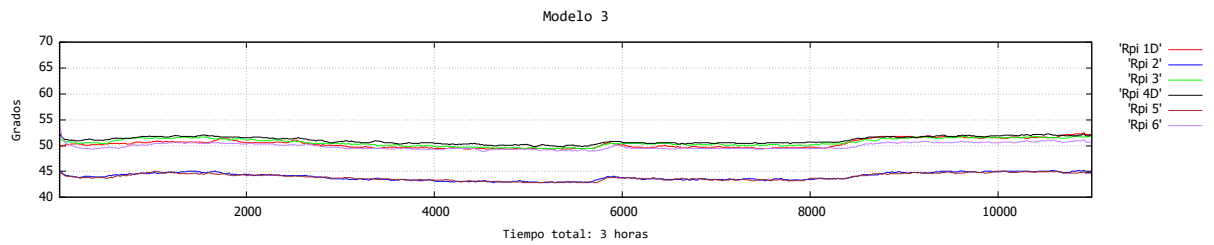


Figura 5.12: Modelo 3

### 5.5.3. Conclusiones

En esta prueba hemos detectado que definitivamente el modelo 2 no cumple con las expectativas necesarias para el correcto funcionamiento del clúster, en él, las diferencias entre nodos con y sin disipador son muy notables y aquellas que no disponen de esta mejora arrojan unas temperaturas muy próximas a los ochenta grados, temperatura crítica de parada, por lo que podemos descartar este modelo para el desarrollo final.

Los otros tres modelos ofrecen unos resultados semejantes a las anteriores pruebas, particularmente el modelo 1 sigue mostrando gran diferencia entre los nodos con disipador. El modelo 2b, aunque ofrece algunas variaciones más notables durante la prueba, sigue manteniendo una relación parecida entre nodos, independientemente de que incluya o no disipadores.



El modelo 3 presenta los mejores resultados, manteniendo temperaturas bajas cercanas a los cincuenta grados y una notable diferencia entre las Raspberrys que disponen de disipador, las cuales se mantienen en cuarenta y cinco grados.

## 5.6. Prueba 4

### 5.6.1. Escenario

El objetivo de esta última prueba es comprobar el comportamiento del sistema durante un periodo de tiempo largo. Se realizó sobre el modelo 1 durante veinticuatro horas de forma ininterrumpida. El escenario es similar al de la prueba 3, con seis Raspberrys trabajando en paralelo, sin embargo, este muestreo se realiza cada sesenta segundos. No podemos certificar la temperatura ambiente para toda la prueba, pero calculamos que osciló entre los quince y dieciocho grados.

### 5.6.2. Resultados

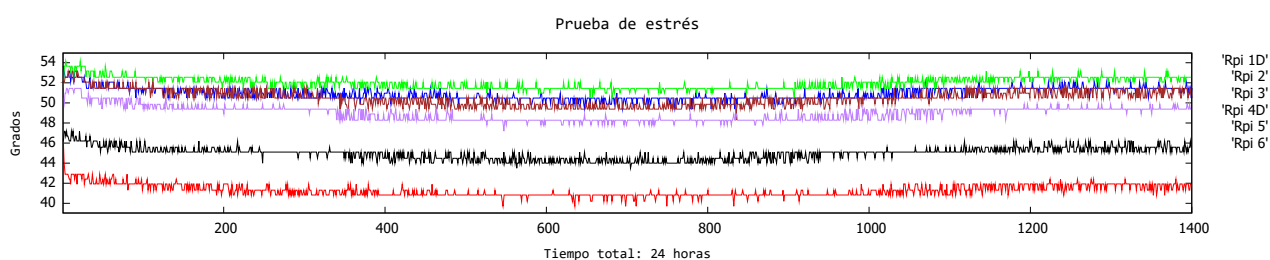


Figura 5.13: Resultados

### 5.6.3. Conclusiones

Prueba de estrés

## 5.7. Conclusiones generales

Durante el desarrollo de los test hemos podido apreciar algunos de los diferentes factores más influyentes sobre el sistema, a continuación, destacamos los que han sido más notorios:

1. Las *corrientes de aire* tienen una gran afección, merece la pena dedicar parte del trabajo a buscar una eficiencia en la conducción de flujos de aire dentro del contenedor, una buena distribución de la entrada y salida de aire nos permite reducir el número de ventiladores y establecer un punto de partida para la disposición del resto de elementos.
2. Al contar con un gran número de cables, también es necesario combinar el punto anterior con la *accesibilidad general a los dispositivos*, de esta manera, exponiendo las tarjetas SD conseguimos que no sea necesario abrir el contenedor para acceder a cada uno de los nodos.
3. La *temperatura ambiente* es otro de los factores influyentes en el comportamiento general, aunque menos notorio, se pueden apreciar alteraciones en todos los dispositivos sujetos a este efecto. Sería preciso que ésta se mantuviera lo más estable posible.
4. En cuanto a la *robustez*, los resultados ofrecidos por la prueba de estrés, figura 5.13, muestran que el comportamiento ha sido similar al del resto de pruebas, independientemente del número de horas, por lo que podemos concluir que el sistema es fiable y poco propenso a las caídas repentinas por periodos largos de trabajo.
5. En las diferentes pruebas realizadas hemos observado que *no existe una correlación entre tasa de trabajo completado y temperatura*. Aún así, con el fin de prolongar la vida útil de cada nodo, siempre es mejor mantener un rango de temperaturas bajo.
6. El uso de *disipadores* es muy conveniente, son elementos de precio reducido, y con una distribución de aire adecuada aumentan tanto la vida útil del clúster, como el

comportamiento de los nodos ante los cambios bruscos de temperatura ambiente. En el peor de los casos, todos los nodos que disponían de esta mejora ofrecieron unos resultados inferiores a los del resto.



# Capítulo 6

## Empty

*No te engañes Jimmy. Si una vaca tuviera la  
oportunidad, te comería a ti, y a los seres que tú  
mas quieres.*

Troy McClure

*Bueno, pero aparte del alcantarillado, la sanidad,  
la enseñanza, el vino, el orden público, la  
irrigación, las carreteras y los baños públicos,  
¿qué han hecho los romanos por nosotros?*

The Life Of Brian

### 6.1. Introducción

